Premeteo gGmbH, Hespengrund 6, 77770 Durbach, Tel. 0781 9400574, info@premeteo.de
www.premeteo.com

Wetterlagenverlauf Oktober 2020 im Vergleich zur Premeteo-Indexprognose für Südwest-Deutschland

(Im Diagramm sind über der Datumsachse die real eingetreten Hoch- und Tiefdruckphasen durch Doppelpfeile eingetragen. Ausschlaggebend für die Evaluation ist der tägliche Premeteo-Index, in der dünneren, roten Linie mit Dreieckspunkten dargestellt. Ein negativer Premeteo-Index zeigt die Wahrscheinlichkeit für eine zyklonale Tiefdruckströmung, ein positiver Premeteo-Index die Wahrscheinlichkeit für eine antizyklonale Hochdruckströmung an.
Die Wetterlagenbeschreibungen wurden anhand der Berliner Wetterkarten erstellt. Ausschlaggebend ist die Europa-Bodenkarte um 0 UTC, die feiner skalierte 12 UTC-Karte von Mitteleuropa wird nur bei einem Wetterlagenwechsel für die Einordnung des Tages hinzugezogen. Am Ende des Dokuments befinden sich die Tabellen und Konstellationen, die dem Diagramm zugrunde liegen.)

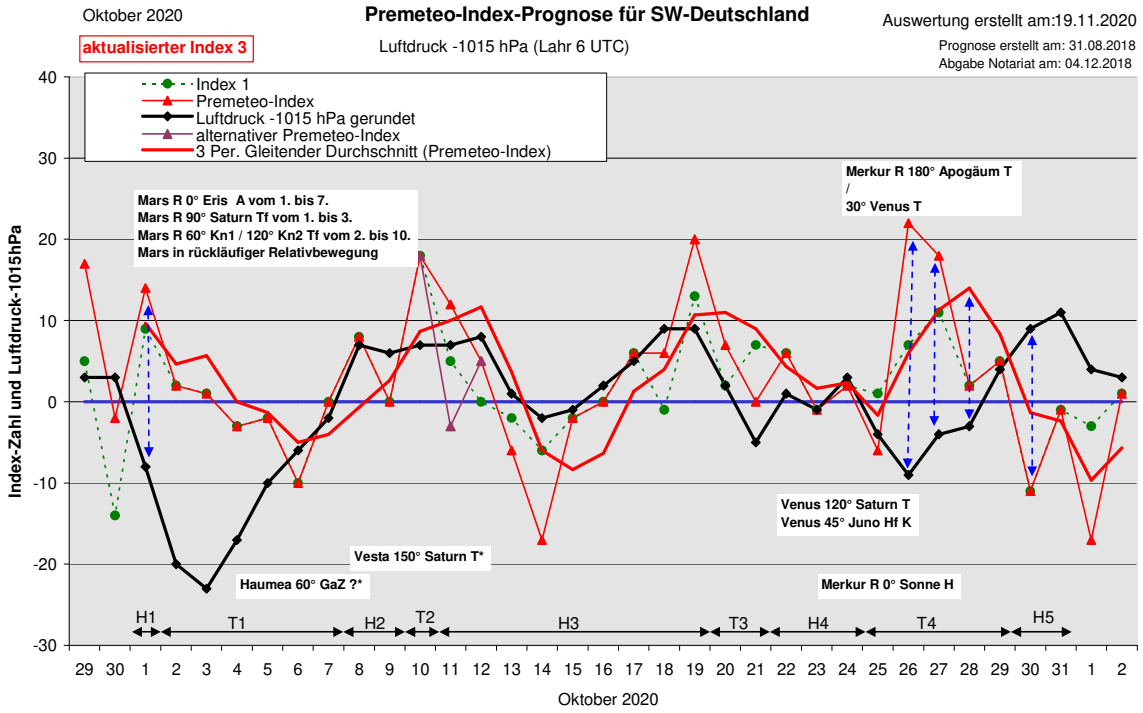

Zusammenfassung: Der Oktober 2020 fiel in der statistischen Auswertung deutlich schlechter als die Vormonate aus. Bezüglich der Strömungsform konnten nur 17 Tage richtig prognostiziert werden, und der mittlere Premeteo-Index der Tiefdruckwetterlagen (+3,86) hatte einen positiven Wert, der auch noch höher lag als der Wert bei den Hochdruckwetterlagen (+2,82). Für die Prognose spricht, dass von den 14 Fehlprognosetagen bezüglich der Strömung nur drei einen Premeteo-Index hatten, der dem Betrag nach größer ±10 war. Die Auswertung der Symbolprognose fiel daher mit 5 falschen Tagen vergleichsweise besser aus.

Das Auswertungsdiagramm zeigt zwischen den Verläufen des Premeteo-Index und der real eingetretenen Luftdruckkurve vom 6. bis zum 25. eine recht gute Annäherung. Auffallend ist jedoch die Abweichung zu Beginn des Monats, die am 1. Oktober ihren Auftakt zu einer gegensätzlichen Entwicklung nahm. Als der Premeteo-Index steil nach oben stieg, sackte der Luftdruck kräftig ab. Dies war der Moment als Mars, der sich in einer rückläufigen Relativbewegung zur Erde befand, in den Exaktheitsbereich von Aspektwinkelbildungen mit Eris (0° A) und Saturn (90° Tf) eintrat. Am 2. Oktober setzte auch noch zusätzlich der starke Tiefdruckaspekt Mars 60° aufsteigender / 120° absteigender Mondknoten Tf ein. Diese Intensivierung der Mars-Tf-Aspekte durch die Konjunktion mit Eris führte in den folgenden Tagen zu einer beeindruckenden Trogbildung, wobei sich die Bewegungsrichtungen von Premeteo-Index und Luftdruck dann aber nicht mehr widersprachen. Nur die Intensität der Luftdruckänderung war sehr viel stärker.

Gegen Ende des Monats ab dem 26. kam es dann erneut zu einem spiegelbildlichen Verlauf der Kurven von Premeteo-Index und Luftdruck. Sie setzte zu dem Zeitpunkt ein, als der rückläufige Merkur den exakten Moment seiner Konjunktion mit der Sonne erreicht hatte. Also auch hier wieder der Hinweis auf die Bedeutung der Rückläufigkeit von Planeten gegenüber der Erde beim Auftreten von Impulsumkehrungen.

Der wärmste Tag des Oktober 2020 war der 22. mit einer Tagesmitteltemperatur von 17,6 ° C in Lahr. Die entscheidende Konstellation schien Pluto 150° aufsteigender Mondknoten A* W* / 72° Juno H* zu sein. Die Region befand sich im Isobarenbereich eines Hochs über Italien.
Eine besonders kalte Phase trat in Lahr vom 11. bis zum 14. ein, mit Tagesmitteltemperaturen zwischen 7,4°C und 8,1° C. Sie vollzog sich zwischen den zwei H*-Aspekten: Chiron 180° Makemake H* und Vesta 120° GaZ H*. Für die Abkühlung sprachen Sonne 90° Jupiter K / 150° Neptun K / 180° Mars. Dagegen sprachen Jupiter 60° Neptun A*W* am 12., an dem auch das schwache Maximum von 8,1°C dieser Kaltphase auftrat und Ceres 60° Apogäum A* am 11., das aber neben den K-Aspekten der Sonne unwirksam blieb.

Maxima des Luftdrucks in Lahr um 6 UTC wurden am 19. (1024,1 hPa), am 30. (1024,2 hPa) und am 31. (1025,6 hPa) gemessen. Venus 150° Mars H K / 45° Varuna H waren die zutreffenden Konstellationen am 19. Oktober. Venus 0° GSZ Tf und Merkur 60° GaZ Tf waren die schwergewichtigen Aspekte in Impulsumkehr für den 30. und 31. des Monats. Wobei mit Sonne 180° Uranus H am 31. die Impulsumkehr beendet war.
Das Luftdruckminimum trat in Lahr um 6 UTC am 3. mit 991,9 hPa ein. Die entscheidende Konstellation war Mars 0° Eris A* (am 4.) in Verbindung mit den fast-exakten Aspekten Mars 90° Saturn Tf und Mars 60° aufsteigender / 120° absteigender Mondknoten Tf.

Beschreibung der einzelnen Wetterphasen:
Hochdruckphase 1: Am 1. Oktober 2020 lag Südwestdeutschland noch überwiegend im Isobarenbereich von Hoch Nepomuk mit Kern über Tschechien, doch wechselte die Region am Nachmittag schon über in eine zyklonale Strömung mit dichter Bewölkung und etwas Niederschlag. Der Premeteo-Index hatte einen Wert von +14.
Tiefdruckphase 1: Am 2. war der Premeteo-Index auf +2 gefallen und Tief Brigitte mit Kern über Nordwestfrankreich dehnte sich über Deutschland rasch aus. Es war zugleich der T-Aspekt Mars 60° aufsteigender Mondknoten in den Exaktheitsbereich von ±1° eingetreten. Mars befand sich in rückläufiger Relativbewegung zur Erde und zugleich in Konjunktion mit Eris. Diese starke Marskonstellation bestimmte in den folgenden Tagen den kräftigen Einfluss von Tief Brigitte auf Deutschland. Sein Kern lag am 3. über der Biskaya, am 4. über Großbritannien, am 5., 6. und 7. über der Nordsee. Der Premeteo-Index summierte über die 6-tägige Tiefdruckphase auf -12.
Hochdruckphase 2: Ein Hoch über Südfrankreich übernahm am 8. die Regie. Am 9. lagen ein Hochdruckkern über den Pyrenäen und ein Kern über den Ostalpen. Der Premeteo-Index summierte über die 2-tägige Hochdruckphase auf +8.
Tiefdruckphase 2: Tief Esther über Südnorwegen und Tief Doris über der nördlichen Ostsee dehnten am 10. im Widerspruch zum Premeteo-Index für einen Tag ihren Isobarenbereich über ganz Deutschland aus. Einziger T-Aspekt war Vesta 150° Saturn T* um 16:02 UTC. Im Index 2 gab es gegen 6 UTC die Symmetrie Mars 5op Sonne Haumea TA, die wegen zu großen Symmetriewinkels nicht angerechnet worden war, aber dennoch wirksam gewesen sein könnte. Für den hohen positiven Premeteo-Index sorgten vor allem die beiden H*-Aspekte Juno 72° Jupiter / 30° Makemake. Andererseits kam es zu einer starken Abkühlung der Atmosphäre und zu einem damit verbundenen Luftdruckanstieg, der den Luftdruckverlauf an den Indexverlauf anpasste. Der Premeteo-Index hatte einen Wert von +18.
Hochdruckphase 3: Folgerichtig übernahm am 11. und 12. bei stark gesunkenen Temperaturen das Azorenhoch die Regie über den südwestdeutschen Raum. Am 13. lag Deutschland in einer sehr flachen antizyklonalen Zone zwischen Tief Foelke über der Nordsee und Tief Gisela über dem Balkan. Der Premeteo-Index war nun im flach negativen

Bereich und fiel zum 14. stark ab auf den Wert -17, aber Südwestdeutschland verblieb in einem flachen, schmalen Keil von Hoch Otmar über dem Nordmeer, umgeben von Tiefdruckkernen über Frankreich, dem Golf von Genua und über Osteuropa. Hoch Otmar blieb bis zum 19. wetterbestimmend für unsere Region. Sein Kern verblieb am 15. und 16. über dem Nordmeer. Dann teilte sich der Kern und Hoch Otmar I lag am 17. über Westfrankreich, Otmar II über dem Baltikum. Am 18. verblieb die Region im Isobarenbereich von Hoch Otmar I über Frankreich. Das Hoch bildete am 19. Kerne über Südostfrankreich, Südwestdeutschland und dem Nordbalkan aus. Der Verlauf des Luftdrucks folgte dem fallenden Premeteo-Index, wenn auch die Strömungform flach antizyklonal blieb. Der Premeteo-Index summierte über die 9-tägige Hochdruckphase auf +31.
Tiefdruckphase 3: Tief Imka mit Kern südwestlich von Irland reichte am 20. bis über West- und Süddeutschland. Der Tag hatte noch einen flach positiven Premeteo-Index von +7. Einziger T-Aspekt war Merkur 180° Uranus, der einen starken Lokalbezug haben könnte, andererseits wurde durch die zeitgleiche Konjunktion von Sonne mit Haumea der unbekannte Aspekt Haumea 60° GaZ ?* aktiviert. Am 21. zeigte Tief Imka zwei Kerne, einen über dem Ostatlantik, einen über Irland und war verbunden mit dem Isobarenbereich von Tief Jadranka über der Biskaya. Das Tiefdrucksystem weitete seinen Einfluss über ganz Deutschland aus. Der Premeteo-Index summierte über die 2-tägige Tiefdruckphase auf +7.
Hochdruckphase 4: Ein Hoch über Italien dehnte sich am 22. bis nach Südwest- und Süddeutschland aus, sein Kern verlagerte sich zum 23. über den Südwestbalkan. Am 24. gelangte die südwestdeutsche Region in den Einflussbereich des Azorenhochs. Der Premeteo-Index summierte über die 3-tägige Hochdruckphase auf +7.
Tiefdruckphase 4: Am 25. setzte sich entsprechend dem negativen Premeteo-Index Tief Lucy mit Kern südlich von Island mit seinem Isobarenbereich bis nach Südwestdeutschland durch. Um 18:24 UTC wurde die untere Konjunktion des rückläufigen Merkur mit der Sonne exakt: Entgegen dem Premeteo-Index, der am 26. und 27. hohe positive Werte annahm, stieß vor allem auf 500 hPa ein kräftiger Trog weit nach Süden vor. In der Bodenatmosphäre geschah dies am 26. in einem Zusammenwirken von Tief Lucy über Schottland mit einem Tief über den Balearen. Am 27. lag der Kern von Tief Lucy I über der nördlichen Nordsee. Der spiegelbildliche Verlauf des Luftdrucks zum Premeteo-Index wies darauf hin, dass die drei Asteroiden-Aspekte Pallas 60° Neptun H* sowie Juno 144° Chiron H* / 45° GaZ H* eine Impulsumkehr erfahren hatten. Begleitend lagen die Aspekte Venus 150° Ceres T (am 27.) und Merkur 180° Apogäum T (am 27.) / 30° Venus T (am 28.) vor. Neptun, Chiron und Merkur befanden sich in rückläufiger Relativbewegung zur Erde. Am 28. dehnte sich Tief ex-Epsilon I, II und III mit Kernen südlich von Island, über der nördlichen Nordsee und Spitzbergen über ganz Deutschland aus. Sein Kern II lag am 29. über Westnorwegen. Der Premeteo-Index summierte über die 5-tägige Tiefdruckphase auf +41.
Hochdruckphase 5: Tief Marola mit Kern nordwestlich von Schottland reichte am 30. um 0 UTC mit seinem Trog noch bis Südwestdeutschland, doch bis 12 UTC hatte sich bereits eine antizyklonale Strömung eingestellt, die am 31. mit Hoch Pit über Südwestdeutschland noch einen „goldenen“ Oktobertag bescherte. Die Impulsumkehr setzte sich bis zum 30. fort. Der Premeteo-Index summierte über die 2-tägige Hochdruckphase auf -12.

SW-D befand sich an 17 Tagen im Einflussbereich antizyklonaler Strömung. Die Summe des prognostizierten Premeteo-Index für diese Tage ergab +48. Dies entsprach einer Indexzahl von +2,82 pro Tag.

An 14 Tagen befand sich SW-D im Einflussbereich zyklonaler Strömung. Die Summe des prognostizierten Premeteo-Index für diese Tage ergab +54. Dies entsprach einer Indexzahl von +3,86 pro Tag.

Die Prognose durch die Premeteo-Wettersymbole war an 5 Tagen falsch (am 1., 10., 11., 26., 27.), an 10 Tagen richtig und an 16 Tagen tendenziell richtig.

Zu den Tabellen
↓

Premeteo gGmbH, Hespengrund 6, 77770 Durbach, Tel. 0781 9400574, info@premeteo.de
www.premeteo.com

19.11.2020

Oktober 2020

Prognose für SW-Deutschland

aktualisierter Index 3

01.10.2020

Vom 1. bis 7. Mars 0° Eris A. Am 6. wird der unbekannte Aspekt Haumea 60° GaZ exakt. Am 11. wird der seltene Aspekt Chiron 180° Makemake H?*(4/2) exakt. Am 20., 21. und 24. Prognoseunsicherheit durch Haumea 60° GaZ?* im Index 3. Ebenso am 30. und 31., plus zusätzlich Haumea 150° Sedna ?*. Der Monat hat auffallend wenige Konjunktionen und auffallend wenig Impulsaspekte!

Die rot markierten Aspekte im Index 3 sind Aspekte, bei denen der ursprüngliche Konjunktionsplanet den höheren Rang hat als der Partnerplanet. Das bedeutet, dass der Konjunktionsplanet bei diesen Aspekten immer als Planet 2 auftritt. Diese Aspekte werden ab Januar 2020 nicht mehr angerechnet.

Langsamläufer-Impulse						?*		H*		2H*, T*
Schnellläufer-Impulse	T	H	H	T	T, H	Tf	2H, 2T		H	H
Temperaturimpulse	K	W	W	W	K?		K, 2W		K, W	W
Premeteo-Index - zyklonal, + antizyklonal (Index 1+2+3)	14	2	1	-3	-2	-10	0	8	0	18
Pre.IX (ALTERNATIV)										
Index 1 (12 - 12 UTC) exakte Aspekte des Tages	9	2	1	-3	-2	-10	0	8	0	18
Index 1(ALTERNATIV)										
Symmetrien (0 - 0 UTC)			Mak 4 Son GSZ (09) A H?*(3,5/1) ---	Chi 5op Son GSZ (08) T T?*(2/5) ---	Ven 10 Ves Orc (08) H A ---	Cer 5op Ven Ves (13) H K H* --- Son 135 Sed Cer (14) A A T* ---	Son 8op Mar Chi (18) T T --- Ven 31 Var Mak (20) A A ?* ---	Son 9op Chi Eri (06) T H --- Mer 75 Sat Ves (12) T* ---	Chi 151 Ven Jun (03) A A* H W --- Ven 134 Plu Eri (22) A A A?*(4/5) ---	Mar 5op Son Hau (06) T A --- Ven 10op Nep Cer (09) AW H K --- Hau 10 Son Jun (12) A H* ---
Index 2 (12 -12 UTC)	0	0	0	0	0	0	0	0	0	0
Index 2 ALTERNATIV										
ausgelöste Aspekte (= durch Konjunktionen aktivierte Aspekte)	Jun 60 Qua H5									
Index 3 (Summe)	5	0	0	0	0	0	0	0	0	0
Index 3 ALTERNATIV										
Symbol-Prognose	2	3	3	3	3	5	3	3	3	2
Symbol-Prognose altern.	2	3	3	3	3	5	3	3	3	2
Wochentag	**Do**	**Fr**	**Sa**	**So**	**Mo**	**Di**	**Mi**	**Do**	**Fr**	**Sa**
Datum	**1**	**2**	**3**	**4**	**5**	**6**	**7**	**8**	**9**	**10**
reale Wetterlage	**H1: T / +14**	**T1: Tf, 4T - 5H - ?* / -12**						**H2: H*, H / +8**		**T2:T*-2H*,H/+18**
Luftdruck (hPa) 06 UTC	1007,2	995,4	991,9	998,3	1005,1	1009,4	1013,3	1022,3	1021,1	1021,7
mittl. Temp.(°C)	13	13,7	12,1	13,7	12,5	13,5	12,5	14,9	16	10,7
Sonnenscheindauer (h)	2,3	0,4	11,2	4,5	0,1	0,6	2	0,8	2,3	1,4
Niederschlag (Liter)	1,9 / 3	0,6 / 0,5	0 / 9	1,6	--- / 1	6,7 / 8	1,8 / 15	0 / 2	8,9 /10	0,9 / 7
Bodenwetterlage 00 UTC (Kernlage des Druckgebiets, das SW-D beeinflusst)	H ü Tschech	T ü NW-F	T ü Bisk	T ü GB	T ü Nsee	T ü Irl,Nsee, N-Polen	T ü Nsee, T ü Skand, T ü GG	H ü S-F	H ü Pyren, H ü O-Alp	T ü S-Norw, T ü N-Osee
Bodenströmung 12 UTC zyklonal (z), antizyklonal (a)	a-z	a-z	a	z	z	z	a-z	z	a	fl z
Strömung auf 500 hPa 00 UTC	SW fl a	SW z	S z	SW z	SW z	W z	W z	NW a	W a	SW z
zutreffende Wettersymbole	5 f	5 hr	3 r	3-5 hr	5 hr	5 r	5 hr	5 hr	5 hr	5 f

Übertrag
Index 1: +7
Index 2: 0

01:57 MER 135 NEP SKO 04°01'45" FIS 19°01'44" A K	01:00 MER 90 VAR SKO 04°58'06" LÖW 04°58'05" A	05:09 MER 72 JUP SKO 06°03'28" STE 18°03'27" H +1	00:43 VEN 144 SAT JUN 01°21'23" STE 25°21'23" A	04:55 VEN 120 QUA JUN 02°43'50" STE 02°43'50" T -2	00:59 MAR 120 VES WID 23°35'16" LÖW 23°35'16" A	03:56 VEN 30 VAR JUN 05°01'43" LÖW 05°01'42" A	01:21 **VES 144 JUP** LÖW 24°24'00" STE 18°24'01" **H* +5**	06:09 VEN 135 PLU JUN 07°29'31" STE 22°29'32" A	12:19 **JUN 72 JUP** SKO 06°36'01" STE 18°36'01" **H* +5**
13:39 VEN 144 PLU LÖW 28°29'19" STE 22°29'20" T ---	02:02 VEN 135 PAL LÖW 29°05'19" STE 14°05'18" A	07:50 PLU 150 VES STE 22°29'13" LÖW 22°29'13" A*	05:54 MAR 0 ERI WID 24°07'37" WID 24°07'36" A*	05:24 SON 30 ORC WAA 12°25'50" JUN 12°25'50" A	03:32 MER 135 KN1 SKO 08°27'44" ZWI 23°27'43" A	07:16 VES 120 ERI LÖW 24°05'49" WID 24°05'49" A*	11:39 VEN 30 FY9 JUN 06°35'00" WAA 06°34'60" A	07:39 VEN 135 MAR JUN 07°33'57" WID 22°33'58" A K	14:06 VEN 135 ERI JUN 09°03'51" WID 24°03'52" A
14:36 VEN 90 SED LÖW 28°32'04" STI 28°32'05" H +2	06:04 CHI 135 VES WID 07°02'59" LÖW 22°02'59" A*	14:47 CER 45 PAL WAS 29°18'10" STE 14°18'10" A*	05:56 MER 150 CHI SKO 06°57'35" WID 06°57'36" A	14:56 VEN 135 JUP JUN 03°13'10" STE 18°13'09" H K? ---	07:33 SON 135 SED WAA 13°30'16" STI 28°30'15" A	11:21 VEN 72 KN1 JUN 05°23'30" ZWI 23°23'30" T K ---	15:19 VEN 150 CHI JUN 06°45'48" WID 06°45'49" A	10:54 MER 72 PLU SKO 10°29'34" STE 22°29'34" A	14:37 **JUN 30 MAK** SKO 06°37'56" WAA 06°37'56" **H* +10**
	08:55 VEN 180 CER LÖW 29°25'21" WAS 29°25'19" H W +2	16:20 MER 30 FY9 SKO 06°28'18" WAA 06°28'18" A	08:08 SON 72 KN2 WAA 11°33'28" SCH 23°33'28" T W -3	18:17 JUN 90 VAR SKO 05°00'46" LÖW 05°00'46" A*	12:23 MAR 60 KN1 WID 23°26'33" ZWI 23°26'33" Tf -10	16:48 VEN 60 JUN JUN 05°39'32" SKO 05°39'32" H W +2	17:52 SED 30 APO STI 28°29'14" WID 28°29'14" A*	13:11 MAR 90 PLU WID 22°29'35" STE 22°29'35" A	16:02 **VES 150 SAT** LÖW 25°26'45" STE 25°26'45" **T* -5**
	13:31 SON 150 URA WAA 09°48'36" STI 09°48'37" A	17:04 VEN 144 CHI JUN 00°59'03" WID 06°59'03" A W	20:53 VEN 30 GSZ JUN 02°20'20" WAA 02°20'19" A	18:40 VES 60 KN1 LÖW 23°28'53" ZWI 23°28'54" A*	13:50 **HAU 60 GaZ ?*** WAA 27°01'38" SCH 27°01'38" **?***	18:18 SON 90 PAL WAA 14°55'58" STE 14°55'58" A		21:56 SON 72 VAR WAA 17°03'26" LÖW 05°03'26" H W +3	17:24 CHI 150 JUN WID 06°40'17" SKO 06°40'16" A*
	16:12 NEP 135 JUN FIS 18°59'18" SKO 03°59'18" A*				20:28 SON 135 CER WAA 14°02'06" WAS 29°02'07" A	20:36 SON 72 GaZ WAA 15°01'38" SCH 27°01'38" H W +3			23:09 VEN 120 URA JUN 09°30'36" STI 09°30'36" H W +2
						20:55 MER 180 URA SKO 09°37'25" STI 09°37'26" T K -2			

Premeteo gGmbH, Hespengrund 6, 77770 Durbach, Tel. 0781 9400574, info@premeteo.de
www.premeteo.com

Oktober 2020

Prognose für SW-Deutschland

aktualisierter Index 3

Vom 1. bis 7. Mars 0° Eris A. Am 6. wird der unbekannte Aspekt Haumea 60° GaZ exakt. Am 11. wird der seltene Aspekt Chiron 180° Makemake H?*(4/2) exakt. Am 20., 21. und 24. Prognoseunsicherheit durch Haumea 60° GaZ?* im Index 3. Ebenso am 30. und 31., plus zusätzlich Haumea 150° Sedna ?*. Der Monat hat auffallend wenige Konjunktionen und auffallend wenig Impulsaspekte!

Die rot markierten Aspekte im Index 3 sind Aspekte, bei denen der ursprüngliche Konjunktionsplanet den höheren Rang hat als der Partnerplanet. Das bedeutet, dass der Konjunktionsplanet bei diesen Aspekten immer als Planet 2 auftritt. Diese Aspekte werden ab Januar 2020 nicht mehr angerechnet.

Langsamläufer-Impulse	H?*			H*						
Schnellläufer-Impulse			3T	T		H		T, H	2H	2T
Temperaturimpulse	K	W*, W	K?		W?, W	W	W	W?, W	K, W, W?	
Premeteo-Index - zyklonal, + antizyklonal (Index 1+2+3)	12	5	-6	-17	-2	0	6	6	20	7
Pre.IX (ALTERNATIV)	4									
Index 1 (12 - 12 UTC) exakte Aspekte des Tages	5	0	-2	-6	-2	0	6	-1	13	2
Index 1(ALTERNATIV)	-3									
Symmetrien (0 - 0 UTC)	Mar 15op Jun Mak (16) H* +7	Ura 2op Jun Mer (17) A* T --- Auslösung Index 3!	Eri 3op Son Hau (18) H ?* +7		Son 2op Mar Eri (06) T H ? Son 16 Jun Mak (10) H* --- Mer 74 Sat Ves (16) T* --- Hau 60 Ves GaZ (19) A* ?* H* ---		Sed 90 Ves Cer (18) A* T* H* ?	Mer 72 Plu Ves (06) A H A* +7 Plu 3 Jup Sat (23) H* H?*(4/2) +7		Ves 143 Plu Chi (18) A* H* ? #
Index 2 (12 -12 UTC)	7	0	7	0	0	0	0	7	7	
Index 2 ALTERNATIV										
ausgelöste Aspekte (= durch Konjunktionen aktivierte Aspekte)		Auslösung durch Index 2: Jun 30 Mak H* +5	Orc 45 Hau T-11	Orc 45 Hau T-11						Jun 72 Plu H5 Orc 45 Hau T-11 Hau 60 GaZ ?*
Index 3 (Summe)	0	5	-11	-11	0	0	0	0	0	5
Index 3 ALTERNATIV										
Symbol-Prognose	2	3	3	5	3	3	3	3	2	3
	3	3	3	5	3	3	3	3	2	3
Wochentag	**So**	**Mo**	**Di**	**Mi**	**Do**	**Fr**	**Sa**	**So**	**Mo**	**Di**
Datum	**11**	**12**	**13**	**14**	**15**	**16**	**17**	**18**	**19**	**20**
reale Wetterlage	**H3: H*, H?*, 4H - 5T / +31**									**T3: 4T-3H / +7**
Luftdruck (hpa) 06 UTC	1021,8	1022,5	1015,6	1013,5	1014,4	1017,4	1019,5	1023,7	1024,1	1016,5
mittl. Temp.(°C)	7,4	8,1	7,6	7,7	8,8	9,7	8,2	8,3	8,8	10,5
Sonnenscheindauer (h)	0,8	1,4	4,7	3,2	0	0	0,3	5	8,1	2,8
Niederschlag (Liter)	1,9 / 1,5	0,2 / 0,5	0 / 1	0,5	0	0,4 / 1	0	0	0	0
Bodenwetterlage 00 UTC (Kernlage des Druckgebiets, das SW-D beeinflusst)	Azor-H	Azor-H	fl H-Zone zw T ü Nsee u T ü Balk	Keil von H ü Nm	H ü Nm, T ü N-Italien	schm Keil von H ü Nm	H ü W-F	H ü F	H m Kernen ü SO-F, SW-D, N-Balk	T sw Irland
Bodenströmung 12 UTC zyklonal (z), antizyklonal (a)	fl a	a	a-z	a	z	a	a	a	a-z	a-z
Strömung auf 500 hpa 00 UTC	SW z	NO fl a	N z	fl a	SO z	NO z	NW z	N z	NW fl a	W a
zutreffende Wettersymbole	5 f	5 hr	3-5 r	5 r	5 hr	5 hr	5 hr	3 r	2-3 r	3-5 hr

06:25
CHI 180 MAK
WID 06°38'51"
WAA 06°38'51"
H?*(4/2) 8/0

07:08
CER 60 APO
WAS 28°46'17"
WID 28°46'18"
A*

13:36
SON 90 JUP
WAA 18°41'29"
STE 18°41'29"
A K

15:32
SON 150 NEP
WAA 18°46'16"
FIS 18°46'17"
A

18:34
VEN 135 SAT
JUN 10°28'04"
STE 25°28'05"
A

07:11
JUP 60 NEP
STE 18°45'23"
FIS 18°45'23"
A* W*

16:40
MER 60 VEN
SKO 11°33'33"
JUN 11°33'34"
A W

05:23
VEN 45 HAU
JUN 12°11'18"
WAA 27°11'19"
T -2

13:42
VEN 0 ORC
JUN 12°36'00"
JUN 12°36'01"
A K?

16:58
SON 72 QUA
WAA 20°48'37"
STE 02°48'38"
T -3

23:27
MAR 180 SON
WID 21°04'41"
WAA 21°04'41"
T -8

15:46
VES 120 GaZ
LÖW 27°01'36"
SCH 27°01'36"
H* +5

16:51
JUN 135 KN1
SKO 08°00'32"
ZWI 23°00'32"
A*

21:26
VEN 135 APO
JUN 14°10'21"
WID 29°10'20"
T -2

04:35
VES 60 EL6
LÖW 27°14'12"
WAA 27°14'12"
A*

07:13
VEN 144 MAR
JUN 14°39'28"
WID 20°39'29"
A W?

08:21
SON 144 SED
WAA 22°26'12"
STI 28°26'11"
A

10:16
SON 90 PLU
WAA 22°30'57"
STE 22°30'57"
A

20:43
SON 120 KN1
WAA 22°56'52"
ZWI 22°56'51"
A W

21:24
VEN 120 PAL
JUN 16°33'19"
STE 16°33'18"
A W

22:12
SON 180 ERI
WAA 24°00'05"
WID 24°00'04"
H +6

13:40
SON 144 NEP
WAA 24°38'28"
FIS 18°38'28"
A W

02:12
VEN 144 ERI
JUN 17°59'21"
WID 23°59'22"
T -2

04:03
MER 72 PLU
SKO 10°31'57"
STE 22°31'57"
A

04:48
VES 90 SED
LÖW 28°24'46"
STI 28°24'46"
A*

07:19
JUN 180 URA
SKO 09°13'35"
STI 09°13'36"
A*

07:20
MER 72 VES
SKO 10°27'13"
LÖW 28°27'14"
H +1

12:20
PLU 144 VES
STE 22°32'05"
LÖW 28°32'05"
A*

13:59
SON 90 SAT
WAA 25°38'51"
STE 25°38'51"
A W?

14:50
VEN 180 NEP
JUN 18°37'08"
FIS 18°37'09"
AW

16:29
VES 180 CER
LÖW 28°36'07"
WAS 28°36'07"
H* +5

05:39
MAR 90 JUP
WID 19°26'49"
STE 19°26'49"
A

07:05
VEN 150 MAR
JUN 19°25'47"
WID 19°25'45"
HK +8

07:36
VEN 120 JUP
JUN 19°27'20"
STE 19°27'21"
A W

12:26
MER 0 JUN
SKO 09°38'16"
SKO 09°38'15"
A W?

21:16
VEN 45 VAR
JUN 20°08'16"
LÖW 05°08'16"
H +4

23:17
SON 60 GaZ
WAA 27°01'35"
SCH 27°01'35"
A

02:56
MER 180 URA
SKO 09°09'14"
STI 09°09'15"
T -2

07:24
SON 0 HAU
WAA 27°21'46"
WAA 27°21'46"
A

16:20
SON 45 ORC
WAA 27°43'58"
JUN 12°43'59"
T ---

Premeteo gGmbH, Hespengrund 6, 77770 Durbach, Tel. 0781 9400574, info@premeteo.de
www.premeteo.com

Oktober 2020

Prognose für SW-Deutschland

aktualisierter Index 3

Vom 1. bis 7. Mars 0° Eris A. Am 6. wird der unbekannte Aspekt Haumea 60° GaZ exakt. Am 11. wird der seltene Aspekt Chiron 180° Makemake H?*(4/2) exakt. Am 20., 21. und 24. Prognoseunsicherheit durch Haumea 60° GaZ?* im Index 3. Ebenso am 30. und 31., plus zusätzlich Haumea 150° Sedna ?*. Der Monat hat auffallend wenige Konjunktionen und auffallend wenig Impulsaspekte!

Die rot markierten Aspekte im Index 3 sind Aspekte, bei denen der ursprüngliche Konjunktionsplanet den höheren Rang hat als der Partnerplanet. Das bedeutet, dass der Konjunktionsplanet bei diesen Aspekten immer als Planet 2 auftritt. Diese Aspekte werden ab Januar 2020 nicht mehr angerechnet.

Langsamläufer-Impulse		2H*				3H*		H*	H*		
Schnellläufer-Impulse	3H, 2T	H	3T, 2H	H, T	Hf, 2H		2T	2T		Tf, H, 2T	Tf, H
Temperaturimpulse	3K	W*			2K	W		2K			
Premeteo-Index - zyklonal, + antizyklonal (Index 1+2+3)	0	6	-1	2	-6	22	18	2	5	-11	-1
Pre.IX (ALTERNATIV)											
Index 1 (12 - 12 UTC) exakte Aspekte des Tages	7	6	-1	2	1	7	11	2	5	-11	-1
Index 1(ALTERNATIV)											
Symmetrien (0 - 0 UTC)	Ura 1op Jun Mer (11) A* T -7 Ven 10 Orc GSZ (21) A Tst ---		Nep 6op Ven Orc (08) AW ?* --- Mer 5 Son Jun (10) H A ---	Son 4 Hau Mer (03) A H +7/0 Auslösung! Son 8op Ura Eri (10) H H --- Jun 46 Ven GaZ (10) Hst K H* A --- Mer 7 Jun Hau (12) A A --- Chi 145 Jun Ves (13) H* H* A* --- Ves 145 Sat Chi (21) A* H* A* --- Son 61 Ves Qua (23) T kurz A A* -7		GSZ 5 Ven Mak (04) Tst H?*(3/0) --- GSZ 31 Son Ves (04) A H* T kurz +7 Mer 61 Ves Qua (05) A H A* +7 Mer 2op Ura Eri (21) T Tf -14	Mer 3 Son Hau (07) H A +7	Son 8 Jun Hau (00) T A --- Ura 4op Son Jun (02) H A* --- Son 7 Jun Mer (22) T H ---	Plu 3 Sat Pal (06) H?*(4/2) A* ---	Ven 15op Mar Nep (04) H --- wegen Index 1!	Chi 1op Ven Mak (19) A H?*(4/2) --- Ven 2 Mak GSZ (23) T W Tst -14
Index 2 (12 -12 UTC)	-7	0	0	0	-7	14	7	0	0	0	0
Index 2 ALTERNATIV											
ausgelöste Aspekte (= durch Konjunktionen aktivierte Aspekte)	Orc 45 Hau T-11 Hau 60 GaZ ?*			Auslösung durch Index 2: Haumea 60 GaZ ?*		Auslösung Index 1: Merkur 60 Qua H +1				Ves 30 GSZ H5 Orc 45 Hau T-11 Hau 150 Sed ?* Qua 90 GSZ ?* Hau 60 GaZ ?*	Orc 45 Hau T-11 Hau 150 Sed ?* Hau 60 GaZ ?*
Index 3 (Summe)	0	0	0	0	0	1	0	0	0	0	0
Index 3 ALTERNATIV											
Symbol-Prognose	3	3	3	3	3	2	2	3	3	5	3
	3	3	3	3	3	2	2	3	3	5	3
Wochentag	**Mi**	**Do**	**Fr**	**Sa**	**So**	**Mo**	**Di**	**Mi**	**Do**	**Fr**	**Sa**
Datum	**21**	**22**	**23**	**24**	**25**	**26**	**27**	**28**	**29**	**30**	**31**
reale Wetterlage		**H4: 2H*, 3H - 4T / +7**			**T4: 4T - 5 H*, Hf, 2H / +41**					**H5: 2H - 2Tf, 2T / -12**	
Luftdruck (hpa) 06 UTC	1009,7	1015,5	1014,1	1018,4	1010,8	1006,3	1011,3	1011,8	1018,6	1024,4	1025,6
mittl. Temp.(°C)	14,4	17,6	15,1	12,9	12,3	9,6	10,3	13,2	12,4	13,6	9,8
Sonnenscheindauer (h)	0,4	0,1	0	3,5	6,1	0	4,5	1	0	1,6	8,9
Niederschlag (Liter)	0	3,5 / 5	7,9 / 8	0	18,4 / 17	2 / 7	0,4 / 1	7,1 / 8	0,8 / 8	0	0
Bodenwetterlage 00 UTC (Kernlage des Druckgebiets, das SW-D beeinflusst)	T ü Biskaya	H ü Ital, T ü O-Atl, GB u Däne	H ü SW-Balk	Azor-H	T s Isl	T ü Schottl	T ü N-Nsee	T m Kernen s Isl u N-Nsee	T m Kernen ü Norw u s Isl, H ü O-Alpen	T nw Schottl, H ü SW-F	H ü SW-D
Bodenströmung 12 UTC zyklonal (z), antizyklonal (a)	a-z	z	a-z	a-z	z	a	fl z	a-z	fl z	a	a
Strömung auf 500 hpa 00 UTC	SW a	SW a	SW a	SW fl z	SW fl a	SW z	SW z	NW fl a	W z	NW a	NW a
zutreffende Wettersymbole	5 hr	3-5 r	5 hr	2-5 r	3 r	5 f	3-5 f	5 hr	5 hr	5 r	5 hr

08:05
SON 150 SED
WAA 28°23'08"
STI 28°23'09"
H +3

13:54
SON 120 CER
WAA 28°37'36"
WAS 28°37'38"
A

15:25
MAR 144 ORC
WID 18°44'60"
JUN 12°44'60"
H +4

15:34
MER 72 JUP
SKO 07°43'03"
STE 19°43'03"
H ---

17:26
MER 135 KN1
SKO 07°38'12"
ZWI 22°38'13"
A

20:32
MER 45 VEN
SKO 07°30'04"
JUN 22°30'07"
T K -1

21:43
VEN 120 PLU
JUN 22°33'40"
STE 22°33'40"
T K -2

22:59
VEN 90 KN1
JUN 22°37'29"
ZWI 22°37'29"
A K

05:56
JUN 72 PLU
SKO 10°33'51"
STE 22°33'51"
H* +5

07:31
VES 120 APO
LÖW 29°59'56"
WID 29°59'56"
A*

09:10
MAR 30 NEP
WID 18°32'40"
FIS 18°32'40"
H +4

09:52
MER 30 FY9
SKO 06°53'52"
WAA 06°53'52"
A

17:44
VES 144 CHI
JUN 00°09'41"
WID 06°09'41"
H* +5

23:30
PLU 150 KN1
STE 22°34'14"
ZWI 22°34'14"
A* W*

00:56
SON 180 APO
SKO 00°04'47"
STI 00°04'47"
T -3

01:14
VEN 150 ERI
JUN 23°56'25"
WID 23°56'24"
H +1

01:35
MER 150 CHI
SKO 06°08'55"
WID 06°08'54"
A

03:05
VEN 135 URA
JUN 24°01'59"
STI 09°01'59"
H +2

04:20
VEN 144 APO
JUN 24°05'44"
STI 00°05'43"
T W ---

07:16
MER 72 PAL
SKO 05°52'08"
STE 17°52'08"
A

08:35
SON 60 VES
SKO 00°23'50"
JUN 00°23'50"
T -6

21:21
MER 90 VAR
SKO 05°09'33"
LÖW 05°09'34"
A

04:37
MAR 90 PAL
WID 18°03'42"
STE 18°03'41"
H +4

15:42
VEN 120 SAT
JUN 25°52'17"
STE 25°52'16"
T -2

05:16
MER 135 NEP
SKO 03°29'32"
FIS 18°29'31"
A K

05:53
VEN 45 JUN
JUN 26°35'03"
SKO 11°35'02"
Hf K ---

07:23
SON 30 GSZ
SKO 02°20'24"
WAA 02°20'25"
A

14:40
VEN 90 GaZ
JUN 27°01'33"
SCH 27°01'34"
A

15:11
MER 60 QUA
SKO 02°58'04"
STE 02°58'04"
H +1

18:24
MER 0 SON
SKO 02°47'51"
SKO 02°47'52"
H +2

22:37
SON 60 QUA
SKO 02°58'21"
STE 02°58'21"
A

00:09
VEN 30 EL6
JUN 27°30'11"
WAA 27°30'11"
A

01:47
PAL 60 NEP
STE 18°28'36"
FIS 18°28'36"
H* +5

03:05
MER 30 GSZ
SKO 02°20'26"
WAA 02°20'25"
A

10:36
SON 135 NEP
SKO 03°28'14"
FIS 18°28'13"
A

12:05
JUN 144 CHI
SKO 12°00'45"
WID 06°00'46"
H* +5

13:02
JUN 45 GaZ
SKO 12°01'34"
SCH 27°01'34"
H* +10

16:18
MER 60 VES
SKO 01°39'08"
JUN 01°39'08"
A

16:43
VEN 120 SED
JUN 28°20'14"
STI 28°20'14"
A W

02:11
VEN 150 CER
JUN 28°48'51"
WAS 28°48'52"
T -2

13:29
MER 180 APO
SKO 00°34'59"
STI 00°35'01"
T -2

14:39
SAT 144 VES
STE 26°00'03"
JUN 02°00'03"
A*

00:10
MAR 135 VES
WID 17°08'55"
JUN 02°08'55"
A

01:38
MER 30 VEN
WAA 29°59'50"
JUN 29°59'47"
T K -1

03:38
SON 90 VAR
SKO 05°10'34"
LÖW 05°10'33"
A

12:32
VES 30 GSZ
JUN 02°20'26"
WAA 02°20'25"
H* +5

15:40
VEN 150 APO
WAA 00°42'17"
STI 00°42'18"
T K -2

21:33
SON 150 CHI
SKO 05°55'17"
WID 05°55'17"
A

00:36
JUN 60 ORC
SKO 12°52'20"
JUN 12°52'20"
H* +5

01:32
MER 120 CER
WAA 28°55'29"
WAS 28°55'29"
A

16:45
MER 150 SED
WAA 28°18'31"
STI 28°18'31"
A

00:03
VEN 0 GSZ
WAA 02°20'27"
WAA 02°20'26"
Tf -8

00:55
SON 30 FY9
SKO 07°03'37"
WAA 07°03'37"
A

04:02
SON 135 KN1
SKO 07°11'24"
ZWI 22°11'24"
H ---

04:03
MER 45 ORC
WAA 27°53'24"
JUN 12°53'23"
A

07:55
VEN 144 URA
WAA 02°44'19"
STI 08°44'17"
A

10:12
VES 120 QUA
JUN 03°02'40"
STE 03°02'40"
A*

11:06
SON 72 PAL
SKO 07°29'03"
STE 19°29'02"
T -3

12:07
MER 0 HAU
WAA 27°36'46"
WAA 27°36'46"
A

14:01
VEN 90 QUA
WAA 03°02'49"
STE 03°02'50"
A

15:36
VEN 30 VES
WAA 03°07'38"
JUN 03°07'38"
A

07:30
MER 60 GaZ
WAA 27°01'34"
SCH 27°01'33"
Tf -7

15:54
SON 180 URA
SKO 08°41'01"
STI 08°40'60"
H +6

Oktober 2020: Fehlprognosen

Datum	Vorzeichen Symbol	Analyse
2.	+2 5 hr	Tief Brigitte über Nordwestfrankreich. Premeteo-Index fiel von +14 auf +2. Der T-Aspekt Mars 60° aufsteigender Mondknoten war in den Exaktheitsbereich von ±1° eingetreten. Mars befand sich in rückläufiger Relativbewegung zur Erde und zugleich in Konjunktion mit Eris. **Flacher Index.**
3.	+1 3 r	Tief Brigitte über Biskaya. Starke Mars-T-Konstellation. Siehe Diagramm. **Flacher Index.**
10.	+18 5 f	Tief Esther über Südnorwegen und Tief Doris über der nördlichen Ostsee. Einziger T-Aspekt war Vesta 150° Saturn T* um 16:02 UTC. Im Index 2 gab es gegen 6 UTC die Symmetrie Mars 5op Sonne Haumea TA, die wegen zu großen Symmetriewinkels nicht angerechnet worden war, aber dennoch wirksam gewesen sein könnte. Für den hohen positiven Premeteo-Index sorgten vor allem die beiden H*-Aspekte Juno 72° Jupiter / 30° Makemake. Andererseits kam es zu einer starken Abkühlung der Atmosphäre und zu einem damit verbundenen Luftdruckanstieg, der den Luftdruckverlauf an den Indexverlauf anpasste.
13.	-6 3-5 r	Sehr flache antizyklonale Zone zwischen Tief Foelke über der Nordsee und Tief Gisela über dem Balkan. **Flacher Index, auf 500 hPa zyklonal.**
14.	-17 5 r	Hoch Otmar über dem Nordmeer. Die Konjunktion Venus 0° Orcus A löste im Index 3 Orcus 45° Haumea T*-11 aus, aber Vesta 120° GaZ H* schien auch einen starken Lokalbezug zu haben.
15.	-2 5 hr	Hoch Otmar über dem Nordmeer. **Flacher Index, auf 500 hPa zyklonal.**
20.	+7 3-5 hr	Tief Imka südwestlich von Irland. Einziger T-Aspekt war Merkur 180° Uranus, der einen starken Lokalbezug haben könnte, andererseits wurde durch die zeitgleiche Konjunktion von Sonne mit Haumea der unbekannte Aspekt Haumea 60° GaZ ?* aktiviert. **Flacher Index, auf 500 hPa antizyklonal.**
23.	-1 5 hr	Hoch über Südwestbalkan. **Flacher Index, einzelner negativer Tag.** Venus 120° Saturn T / 45° Juno Hf K.
26.	+22 5 f	Tief Lucy über Schottland und Tief über den Balearen. Analyse siehe 27. Oktober.
27.	+18 3-5 f	Tief Lucy I über der nördlichen Nordsee. Der spiegelbildliche Verlauf des Luftdrucks zum Premeteo-Index wies darauf hin, dass die drei Asteroiden-Aspekte Pallas 60° Neptun H* sowie Juno 144° Chiron H* / 45° GaZ H* eine Impuls Umkehr erfahren hatten. Begleitend lagen die Aspekte Venus 150° Ceres T (am 27.) und Merkur 180° Apogäum T (am 27.) / 30° Venus T (am 28.) vor. Neptun, Chiron und Merkur befanden sich in rückläufiger Relativbewegung zur Erde.
28.	+2 5 hr	Tief ex-Epsilon I, II und III mit Kernen südlich von Island, über der N-Nordsee und Spitzbergen. Eine Impulsumkehr bestand nun noch zum geglätteten Premeteo-Index. **Flacher Index.**
29.	+5 5 hr	Tief ex-Epsilon II über Westnorwegen. Die beiden gegenläufigen Kurven von Luftdruck und Premeteo-Index näherten sich an diesem Tag an. **Flacher Index.**
30.	-11 5 r	Tief Marola mit Kern nordwestlich von Schottland um 0 UTC, doch bis 12 UTC hatte sich bereits eine antizyklonale Strömung eingestellt, so dass sich die Gegenläufigkeit von Index und Luftdruck weiter fortsetzte.
31.	-1 5 hr	Hoch Pit über Südwestdeutschland. Merkur 60° GaZ Tf und Sonne 180° Uranus H. Die Impulsumkehr war an diesem Tag beendet. **Flacher Index.**

Monatsauswertung (Lahr)

Okt 20

H-Wetterlagen

	Anzahl der Wetterlagen	Anzahl der Tage	Niederschlag in Liter	H*	Hf	H	T*	Tf	T	L
normal	4	15	25,2 / 32	5	0	8	0	0	10	0
anormal	1	2	0 / 0	0	0	2	0	2	2	0
gesamt	5	17	25,2 / 32	5	0	10	0	2	12	0

Verhältnis H/Tage = 15/17 = 0,88
Verhältnis T/Tage = 14/17 = 0,82

T-Wetterlagen

	Anzahl der Wetterlagen	Anzahl der Tage	Niederschlag in Liter	H*	Hf	H	T*	Tf	T	L
normal	2	8	11,7 / 33,5	0	0	8	0	1	8	1
anormal	2	6	21,7 / 32,0	7	1	3	1	0	4	0
gesamt	4	14	33,4 / 65,5	7	1	11	1	1	12	1

Verhältnis H/Tage = 19/14 = 1,36
Verhältnis T/Tage = 14/14 = 1,00

ganzer Monat	Anzahl der Wetterlagen	Anzahl der Tage	Niederschlag in Liter	H*	Hf	H	T*	Tf	T	L
	9	31	58,6 / 97,5	12	1	21	1	3	24	1

Gesamtzahl H-Aspekte: 34
Gesamtzahl T-Aspekte: 28
Zahl aller Aspekte: 155
Quotient H/T = 1,21
Gesamtzahl L-Aspekte: 1

Niederschlag Durbach: s.o. hinter Schrägstrich

r = richtig hr = halbrichtig f = falsch

Symbolprog-nose in Tagen	**10 r 16 hr 5 f**

Premeteo-Index pro Tag	**HWL +48/17 = +2,82**	**TWL +54/14 = +3,86**

bezüglich des Vorzeichens richtige Tage	**bezüglich des Vorzeichens falsche Tage**
17	**14**

Bei der Auswertung des Januar 2017 wurde entdeckt, dass im Index 3 möglicherweise nur dann Auslösungsaspekte aktiviert werden, wenn der Konjunktionsplanet einen Aspekt mit einem Planeten bildet, der einen höheren Rang hat als der betroffene Konjunktionsplanet selbst. Dies bestätigte sich im Laufe des ganzen Jahres 2017. Manchmal entstand der Eindruck, dass die im korrigierten Index 3 nicht mehr angerechneten Aspekte auf 500 hpa zum Teil doch anwesend waren.
Ab Januar 2018 werden nur noch die im Index 3 korrigierten Prognosen ausgewertet.